

ریز رخساره‌ها و محیط رسوی سازند آسماری در تاقدیس دشتک (شمال غرب کازرون)

مهناز پروانه‌نژاد‌شیرازی^{*}، لاله یزدان‌دوست و زهرا مرادی

گروه زمین‌شناسی، دانشگاه پیام نور، صندوق پستی ۳۶۹۷-۱۹۳۹۵ تهران- ایران.

*Mahnaz402002@yahoo.com

دریافت: ۹۲/۵/۶ پذیرش: ۹۲/۸/۲۶

چکیده

تاقدیس دشتک در بخش غربی تنگ چوگان در منطقه کازرون قرار گرفته است. برای تعیین ریز رخساره‌ها و محیط رسوی سازند آسماری در این تاقدیس، دو برش به صورت سیستماتیک در یال شمالی و یال جنوبی آن، به ترتیب با ضخامت ۳۱۰ و ۳۵۰ متر، اندازه‌گیری و نمونه‌برداری گردید. بررسی‌های دقیق سنگ‌شناختی و فسیل‌شناختی در این برش‌ها منجر به شناسایی ۱۳ ریز رخساره گردید. ریز رخساره‌های یال شمالی شامل L5، L4، L3، L2، L1، B7، B4، B3، B2، B1، O1 و ریز رخساره‌های یال جنوبی شامل L1، O1، B7، B6، B5، B4، B3، B1، O1 می‌باشند. محیط رسوی گذاری سازند آسماری در این برش‌ها از نوع رمپ کربناته (شامل رمپ خارجی، رمپ میانی و رمپ داخلی) تفسیر گردید که بیشترین ضخامت از رسویات آن در محیط رمپ داخلی نهشته شده است. سن سازند آسماری در این منطقه روپلین-شاتین تعیین گردید. این سازند به صورت تدریجی بر روی سازند پابده و در زیر نهشته‌های آبرفتی قرار گرفته است.

واژه‌های کلیدی: سازند آسماری، ریز رخساره، تاقدیس دشتک، تنگ چوگان، کازرون.

مقدمه

آن‌ها به منظور ارائه یک مدل رسوی برای این سازند در دو برش مورد مطالعه می‌باشد.

سازند آسماری، توالی ضخیمی از سنگ‌های کربناته‌ای الیگومیوسن است که سنگ مخزن اصلی نفت خام در جنوب‌غربی ایران محسوب می‌شود. این لایه‌ها بر روی یک پلاتفرم کربناته در حوضه‌ی زاگرس نهشته شده‌اند (شکل ۱). سازند آسماری در سرتاسر زاگرس حضور دارد، اما در فروافتادگی دزفول کامل‌ترین توالی آن دیده می‌شود. این سازند از نظر لیتلولوژی شامل لایه‌های سنگ آهک، سنگ آهک دولومیتی و سنگ آهک رسی می‌باشد [۶]. در شمال‌غرب حوضه‌ی زاگرس، بخش تبخیری کلهر با سنگ آهک‌های آسماری میانی به طور بین‌انگشتی قرار می‌گیرد، اما در جنوب‌شرق اهواز، رخساره‌ی ماسه‌سنگی جایگزین لایه‌های آهکی می‌شود. به دلیل اهمیت اقتصادی فراوان و مطالعات اندکی که در ناحیه‌ی فارس بر روی سازند آسماری صورت گرفته است، مطالعات تکمیلی می‌تواند اطلاعات مفید و ارزشمندی را جهت فعالیت‌های اکتشافی در حوضه‌ی زاگرس در اختیار قرار دهد.

پیشینه‌ی مطالعات سازند آسماری
برای اولین بار [۱۵] توالی سنگ‌های آهکی کرتاسه تا ائوسن خوزستان را، آسماری نام نهادند. [۳۴] سازند آسماری را در برش الگوی امروزی اندازه‌گیری نمود و آن را سری آسماری نامید. [۳۰] سن آسماری را الیگوسن- میوسن در نظر گرفت. وی برش الگوی سازند آسماری را در تنگ گل ترش کوه آسماری واقع در جنوب خاوری مسجد سلیمان انتخاب نمود و آن را به سه بخش تحتانی، میانی و بالایی تقسیم نمود. او سن آسماری زیرین را الیگوسن، آسماری میانی را آکی‌تائین و آسماری بالایی را بوردیگالین عنوان نمود. برای اولین بار [۲۶] خواص زیست‌چینه‌نگاری آسماری را تدوین نمودند. بعدها [۶] خواص زیست‌چینه‌نگاری آسماری را مورد تجدید نظر قرار داده و در مجموع سه زون تجمعی مشخص نمودند. در چند دهه‌ی گذشته بررسی‌های زیست‌چینه‌ای و محیط‌های رسوی سازند آسماری توسط محققان مختلفی انجام شده است که برای نمونه

هدف‌های اصلی این پژوهش، تحلیل و تشخیص ریز رخساره‌های سازند آسماری، کاربرد ریز رخساره‌ها در بازسازی محیط دیرینه‌ی سازند آسماری و طبقه‌بندی

داخلی و در بال شمالی دارای طول شمالی 47° و 29° و عرض شرقی 37° و 51° و در بال جنوبی دارای طول شمالی 47° و 29° و عرض شرقی 35° و 51° می‌باشد. این دو برش در کنار جاده‌ی قائمیه – کازرون در شمال شهر تاریخی بیشاپور، ۹۵ کیلومتری جنوب‌غرب شیراز و ۵ کیلومتری شمال‌غرب شهرستان کازرون واقع شده است (شکل ۲).

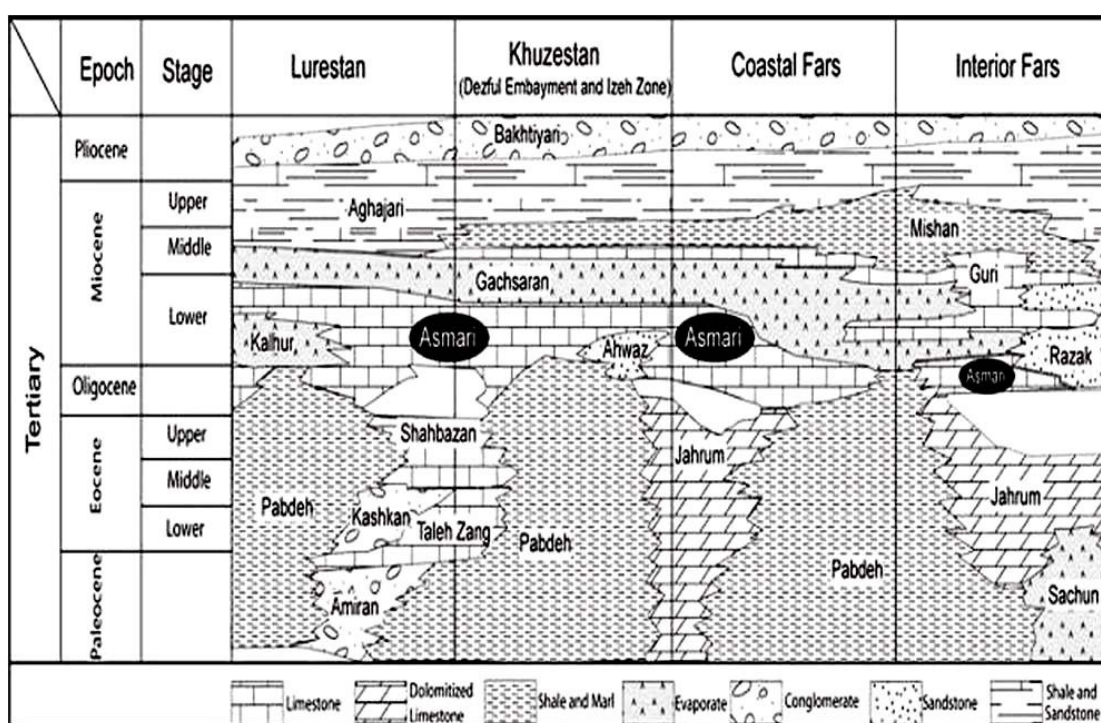
روش مطالعه

برای انجام این مطالعه لایه‌های سنگی با استفاده از ژاکوب متراز و نمونه‌برداری به صورت هر دو متر یک نمونه انجام گرفت. در فوایلی که تغییر رخساره مشاهده می‌شد با فاصله‌ی کمتری نمونه‌برداری شده است. در مجموع ۳۳۰ نمونه (نمونه‌های D0-D310 از برش بال شمالی و نمونه‌های T0-T350 از برش بال جنوبی) برداشت گردید. پس از تهیه مقاطع نازک میکروسکوپی، مطالعاتی جهت تعیین ریزخساره‌ها صورت گرفت. در این مطالعات، طبقه‌بندی سنگ‌های کربناته براساس روش [۲۰] و تعیین ریزخساره‌ها و تجزیه و تحلیل آن‌ها بر اساس [۴۳، ۴۴، ۲۸، ۲۴، ۱۶، ۱۳] انجام شد، که در نهایت منجر به شناسایی ۱۳ ریزخساره گردید.

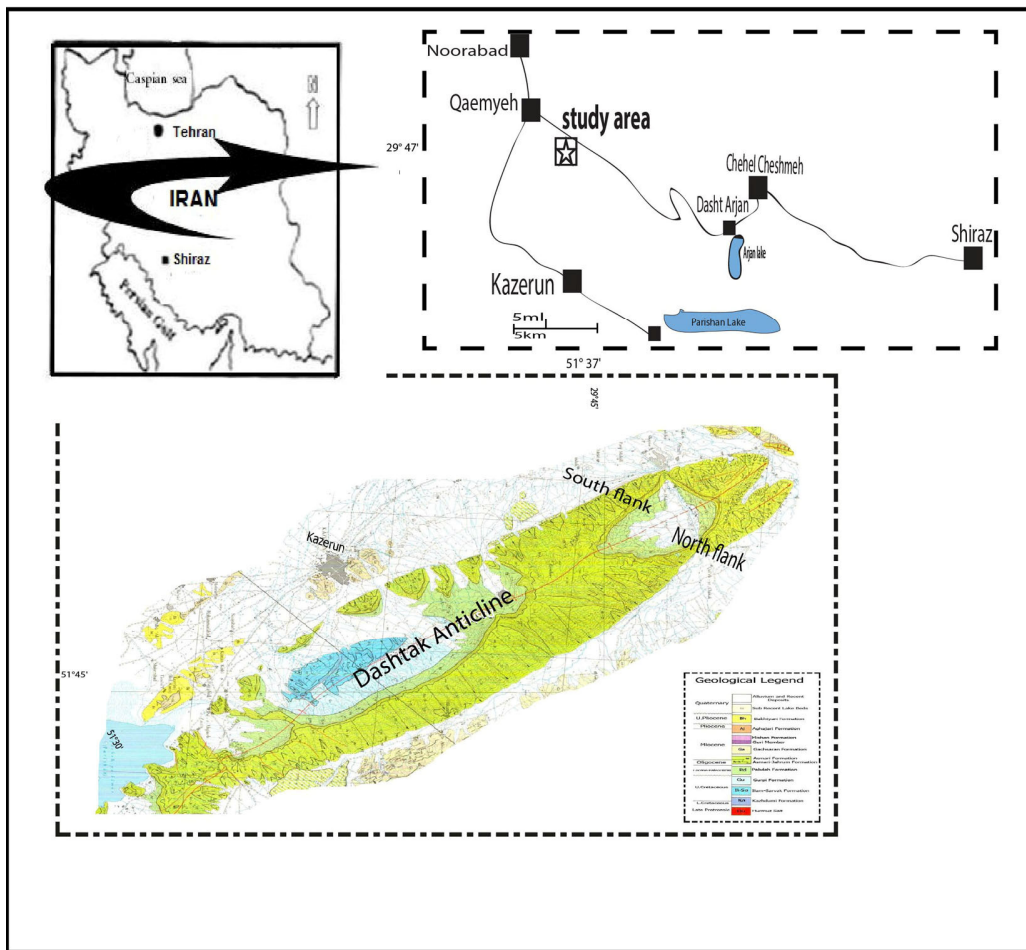
می‌توان به مطالعه‌ی محیط رسوی سازند آسماری در دزفول [۳۷]، در زاگرس مرکزی [۳۸]، در حاشیه‌ی جنوبی فروافتادگی دزفول [۳]، بررسی زیست‌چینه‌نگاری و محیط رسوی آسماری در چاه شماره‌ی ۳۰ آغازیاری [۵] و همچنین در منطقه‌ی لالی [۴۱] و در حاشیه‌ی شمالی فروافتادگی دزفول [۴] اشاره نمود. سرانجام زیست‌چینه‌نگاری توالی کربناته‌ی روپلین – بوردیگالین در منطقه‌ی چمن بلبل [۹]، زیست‌چینه‌نگاری، ریزخساره و سکانس استراتیگرافی سازند آسماری در فارس [۳۶]، سکانس استراتیگرافی و محیط رسوی رسوبات الیگوسن در برش فیروزآباد [۲۷]، زیست‌چینه‌نگاری و پالواکولوژی سازند آسماری در تاقدیس نورا [۳۹]، زیست‌چینه‌نگاری سازند آسماری در تاقدیس‌های خویز و بنگستان در حوضه‌ی زاگرس [۳۳]، پالواکولوژی سازند آسماری در تاقدیس دیل [۷]، ریزخساره و محیط رسوی سازند آسماری در خوزستان [۳۱].

موقعیت جغرافیایی منطقه‌ی مورد مطالعه

زیر پهنه‌ی زاگرس چین‌خورده شامل فروافتادگی کرکوک، لرستان، پهنه‌ی اینده، فروافتادگی دزفول، دشت آبادان، پس‌خشکی بندرعباس و پهنه‌ی فارس می‌باشد. پهنه‌ی فارس به دو بخش فارس داخلی و بیرونی تقسیم می‌شود [۱] که برش‌های مورد مطالعه در پهنه‌ی فارس



شکل ۱. نمودار تطبیق واحدهای سنگ‌چینه‌ای ترشیری در جنوب غرب ایران [۲۶].



شکل ۲. نقشه‌ی زمین‌شناسی و نقشه‌ی راههای دستیابی به دو برش مورد مطالعه [۴].

قاعده‌ی آن یک لایه آهک ضخیم لایه مشاهده شده است.

واحد ۳: این واحد از متراز ۲۱۰-۳۱۰ متری برش یال شمالی را شامل می‌شود و از آهک متوسط لایه تشکیل شده است که در بخش‌های بالای آن دولومیت بسیار ناچیزی وجود دارد اما در برش یال جنوبی از متراز ۲۸۰-۳۵۰ متري است که عمدتاً مشتمل بر آهک‌های متوسط لایه با میان لایه‌هایی از آهک مارنی می‌باشد. در ضمن سازند آسماری در این دو برش با توجه بر مشاهدات صحرایی و همچنین شکل‌های ۲، ۱۰ و ۱۱ زیر آبرفت‌های عهد حاضر قرار گرفته است.

زیست‌چینه‌نگاری
از نظر زیست‌چینه‌نگاری با توجه به مطالعه توزیع روزن‌داران ۳ زون زیستی در یال شمالی و جنوبی

بحث

سنگ‌چینه‌نگاری

از نظر سنگ‌چینه‌نگاری بر اساس مشاهدات صحرایی ۳ واحد سنگی در یال شمالی تاقدیس دشتک و همچنین ۳ واحد سنگی در یال جنوبی این تاقدیس شناسایی شده است که مشخصات این واحدها از قدیم به جدید به شرح زیر می‌باشد:

واحد ۱: این واحد در یال شمالی ۱۰۰ متر ضخامت دارد و عمدتاً شامل مارن و آهک شیلی می‌باشد اما در یال جنوبی ۱۳۰ متر ضخامت داشته و عمدتاً شامل مارن و آهک مارنی است.

واحد ۲: این واحد در یال شمالی از متراز ۱۰۰-۲۱۰ متری است و از آهک متوسط تا ضخیم لایه تشکیل شده است اما در یال جنوبی از متراز ۱۳۰-۲۸۰ متری است و از آهک متوسط تا ضخیم لایه تشکیل شده است که در

ریزرسارهای رمپ خارجی (Outer ramp):

O1: Bioclastic Planktonic Foraminifera Wackestone – Packstone

این ریزرساره به طور عمده از فرامینیفرهای پلانکتون و خردل‌های ریز خارپوستان تشکیل شده است. تاکسون‌های اصلی فرامینیفرهای پلانکتون (گلوبیژرین و گلوبوروتالیدهای بدون کیل) هستند. در این ریزرساره پلوئید، دایتروپا و فرامینیفرهای کوچک کفزی نیز به میزان کم حضور دارند. زمینه‌ی این ریزرساره ریزدانه بوده و عمدتاً در بخش پائینی سازند آسماری در مرز تدریجی بین سازنده‌های آسماری و پابده در دو برش مورد مطالعه دیده می‌شود (شکل A-۳).

تفسیر محیط رسوی: حضور فرامینیفرهای پلانکتون، فقدان جلبک‌های قرمز آهکی، و فرامینیفرهای بنتیک گویای نهشته شدن این ریزرساره در زیر سطح امواج طوفانی (SWB) و شرایط دریای باز می‌باشد [۱۸ و ۲۵]. این ریزرساره مشابه ریزرساره‌ی استاندارد شماره‌ی ۳ در طبقه‌بندی [۴۳] و ۵ RMF-۲۳ می‌باشد.

ریزرسارهای رمپ میانی (Middle ramp):

B1: Bioclastic Nummulitidae Lepidocyclinidae Planktonic Foraminifera Wackestone

حضور فرامینیفرهای کفزی و پلانکتون ویژگی اصلی این ریزرساره است. فرامینیفرهای کفزی شامل انواع کشیده و بزرگ از خانواده نومولیتیده و لپیدوسیکلینیده و سایر فسیل‌ها مانند دایتروپا، خارپوستان، قطعات کورالیناسه و بریوزوئر هستند. فرامینیفرهای پلانکتون از جمله گلوبیژرین و گلوبوروتالیدهای بخش دیگر دانه‌های اسکلتی را تشکیل می‌دهند. اجزاء غیر اسکلتی از قبیل پلوئید و اینترالکلست می‌باشد. این ریزرساره در این رخساره دیده می‌شود. این ریزرساره در دو برش مورد مطالعه مشاهده می‌شود (شکل B-۳).

تفسیر محیط رسوی: حضور هم زمان و فراوانی نسبی تقریباً برابر فرامینیفرهای بزرگ بنتیک و پلانکتون بخش پایینی محیط سراشیب را مشخص می‌کند. فرامینیفرهای منفذدار مانند نومولیتیدهای بزرگ و بهن (همزیستدار)، از قبیل اوپرکولینا و هتروستزینا در عمیق‌ترین بخش‌های حوضه تا مرز زیرین ناحیه‌ی نوری سکنی می‌گزینند

تاقدیس دشتک شناسایی شده است. بر اساس این ۳ زون زیستی که در هر دو برش مشاهده می‌شود، سن سازند آسماری در این تاقدیس، الیگومن (روپلین- شاتین) در نظر گرفته می‌شود.

زون زیستی شماره ۱

1. *Globigerina* spp. Assemblage Zone [۴۶]

این زون زیستی که با پیدایش فراوان *Globigerina* spp. مشخص می‌شود، در یال شمالی تاقدیس دشتک از قاعده تا ۴۹ متری، و در یال جنوبی این تاقدیس از قاعده برش تا ۶۰ متری آن وجود دارد. بر اساس نظر [۲۹ و ۴۰] این زون زیستی معمولاً سن ابتدای الیگومن را نشان می‌دهد.

زون زیستی شماره ۲

2. *Operculina*, *Lepidocyclina*, *Ditrupa* Assemblage Zone [۲۹]

این مجموعه‌ی فونی مطابق با بیوزون شماره ۳ [۲۹] می‌باشد. این مجموعه در یال شمالی از ضخامت ۴۹ تا ۱۹۸ متری و در یال جنوبی از ضخامت ۶۰ تا ۱۹۰ متری مشاهده می‌شود. بر اساس مطالعات [۲۱] این مجموعه به علت عدم وجود نومولیتس و قرار داشتن در زیر مجموعه‌ی فونی ۳ متعلق به قاعده‌ی شاتین می‌باشد.

زون زیستی شماره ۳

3. *Miogypsinooides complanatus*, *Archaias asmaricus*, *Archaias hensonii* Assemblage Zone [۴۶]

این مجموعه‌ی فونی مطابق با بیوزون شماره ۴ [۲۹] می‌باشد. این زون زیستی در یال شمالی از ضخامت ۱۹۸ تا ۳۱۰ متری و در یال جنوبی از ضخامت ۱۹۰ متری تا راس مقطع مشاهده می‌شود. [۲۱] نیز بر اساس حضور آرکیاس بدون وجود نومولیتس، سن شاتین را برای این مجموعه در نظر می‌گیرند.

ریزرسارهای رمپ

بررسی و مطالعه دقیق مقاطع نازک مربوط به برش سطحی سازند آسماری در یال شمالی و جنوبی تاقدیس دشتک مجموعاً منجر به شناسایی مجموعه‌های ریزرسارهای زیر شد که به ترتیب کاهش عمق عبارتند:

می‌باشد. از نظر ماکروسکوپی این ریزرساره با آهک‌های نازک تا متوسط لایه، خاکستری روشن تا کرم رنگ بوده که دارای قطعات کورالیناسه، خرده‌های خارپستان و فرامینی فرهای منفذدار بزرگ می‌باشد. این ریزرساره در دو برش مورد مطالعه دیده می‌شود (شکل ۳-D).

تفسیر محیط رسوبی: وجود فرامینی فرهای بزرگ و پهن با دیواره نازک و منفذدار بیانگر تهنشست این ریزرساره در محیط دریایی باز کم عمق‌تر می‌باشد [۱۰]. این ریزرساره شباهت زیادی به ریزرساره‌ی کمربند شماره ۷ [۱۶] دارد و معرف شرایط محیطی بخش میانی رمپ میانی می‌باشد و همچنین معادل RMF-9 معرفی شده توسط [۲۳] می‌باشد.

B4: Bioclastic Neorotalia Corallinacean Nummulitidae Grainstone

عناصر اصلی تشکیل دهنده این ریزرساره خانواده نومولیتیده، کورالیناسه و نئوروتالیا می‌باشد. از اجزای اسکلتی دیگر در این ریزرساره می‌توان به خرده‌های خارپستان، آمفیستزینا و خرده‌های صدف اشاره کرد. آلوکم‌های فرعی از قبیل فرامینی فرهای پلانکتون، لپیدوسیکلینیده، میلیولیده، نرم‌تنان، جلبک سبز، مرجان، بریوزوئر، روتالیاها کوچک، دیسکوربیس و تکستولارید به میزان کمتر از یک وجود دارند (شکل ۳-E). در این ریزرساره، بافت سنگ دانه‌پشتیبان است (پکستان و گاهی تا گرینستون هم می‌رسد) و فضای خالی بین دانه‌ها توسط سیمان اسپاریتی پر شده است. دولومیتی شدن این ریزرساره را به میزان کمتر از یک تحت تأثیر قرار داده است. با توجه به بافت سنگ و حضور فون‌های دریایی باز، این ریزرساره در دامنه‌ی جلوی سد کربناته (بخش کم عمق دریایی باز) در بخش رمپ میانی نهشته شده است. این ریزرساره در دو برش مورد مطالعه موجود است.

تفسیر محیط رسوبی: با توجه به حجم بالای همزیست روزن‌داران بننیک از قبیل نومولیتیده (اپرکولینا)، روتالیا و بایوکلاستهایی از قبیل اکینوئید، استراکود، جلبک قرمز لیتوفیلوم و در بعضی از مقاطع روزن‌داران کوچک در زمینه‌ی گرینستون، وجود فرامینی فرهای بزرگ و پهن با دیواره‌ی نازک و منفذدار بیانگر تهنشست این ریزرساره

[۳۵]. پس ترکیب زیستا نشان می‌دهد که محیط تشکیل این ریزرساره حد واسط محیط تشکیل ریزرساره‌های بننیک و پلانکتون است. این محیط شامل قسمتی از سراشیب پلاتiform است که بین قاعده‌ی تأثیر امواج عادی و طوفانی قرار می‌گیرد و معادل RMF-5 معرفی شده توسط [۲۳] می‌باشد. [۲۴] رسوبات مشابهی را از بخش

ژرفتر شلف جنوب اسپانیا گزارش نموده است.

B2: Planktonic Foraminifera Nummulitidae Lepidocyctinidae Corallinacean Wackestone – Packstone

حضور فرامینی فرهای کفسی و پلانکتون ویزگی اصلی این ریزرساره است. کفسی‌ها شامل فرامینیفرهای بننیک (اپرکولینا و لپیدوسیکلین‌های بزرگ) و سایر فسیل‌ها مانند خارپستان، خزه‌شکلان و کورالیناسه‌آ هستند که کورالیناسه‌آ بیشترین مقدار را در این ریزرساره دارد. فرامینی فرهای پلانکتون (گلوبیترین و گلوبوروتالیده) بخش دیگر دانه‌های اسکلتی را تشکیل می‌دهند. این ریزرساره در برش یال شمالی تاقدیس دشتک مشاهده می‌شود (شکل ۳-C).

تفسیر محیط رسوبی: رسوبات در برگیرنده‌ی نومولیتیده و لپیدوسیکلینیده عدسی شکل و گرد نسبت به رسوباتی که دارای نمونه‌های بزرگ و کشیده هستند، محیط کم‌عمق‌تری را نشان می‌دهند [۱۱ و ۱۲]. این ریزرساره معادل RMF-9 معرفی شده توسط [۲۳] می‌باشد. رساره‌ی مشابه در دیگر نواحی زاگرس، به صورت محیط کم‌عمق‌تر روی سراشیب پلاتiform تفسیر شده است [۴۱ و ۱۹، ۴۲].

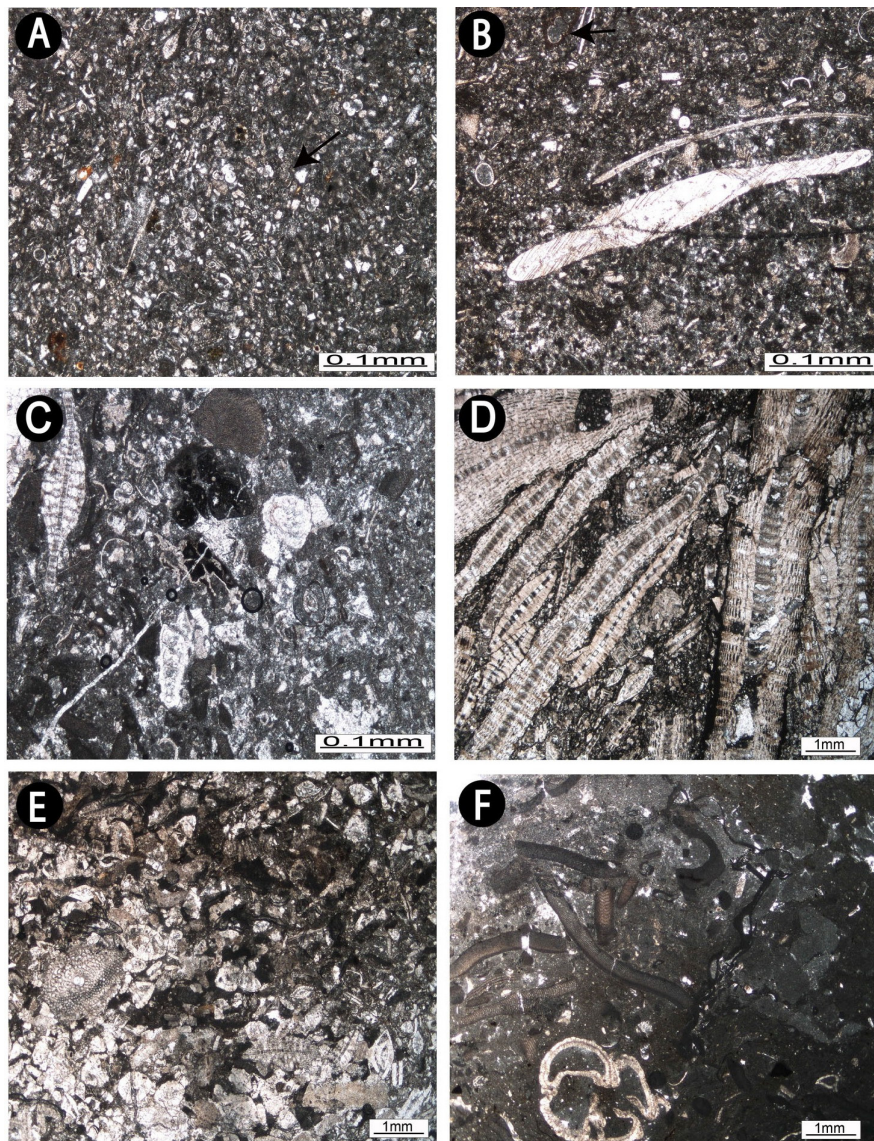
B3: Nummulitidae Lepidocyctinidae Floatstone – Rudstone

اجزاء غالب در این ریزرساره فرامینی فرهای منفذدار بزرگ و کشیده از خانواده نومولیتیده (اپرکولینا، هتروسستزینا و اسپیروکلیپوس)، خانواده لپیدوسیکلینیده و آمفیستزینا هستند. دیگر تشکیل دهنده‌های این ریزرساره خرده‌های خارپستان، پلوبید و قطعات کورالیناسه‌آ می‌باشد. دانه‌ها در اندازه‌ی ریز تا درشت (بیشتر از ۲ میلی‌متر) بوده که در یک زمینه‌ی کربناته دانه‌ریز قرار گرفته‌اند. زمینه در این ریزرساره از میکریت و خرده‌های اسکلتی، پلوبید و قطعات کورالیناسه‌آ تشکیل شده است. در برخی نمونه‌ها دانه‌های اسکلتی غالب، لپیدوسیکلینیده‌های بزرگ و کشیده

دیسکوربیس) می‌باشد که در زمینه‌ی میکرایتی قرار دارند. در این ریزرساره میکرایت غالب است و کورالیناسه‌آ به صورت دایره‌ای و صفحه‌ای مشاهده می‌شود. این ریزرساره در برش یال جنوبی تاقدیس دشتک موجود است (شکل ۳-F).

در دریای باز و کم عمق تر می‌باشد [۱۰]. این ریزرساره معادل RMF-8 معرفی شده توسط [۲۳] می‌باشد.

B5: Bioclastic Corallinacean Wackestone
اجزاء اصلی این ریزرساره شامل خرده‌های کورالیناسه‌آ، بریوزوئر، دوکفه‌ای، خارپوستان، فرامینی فرهای بنتیک با دیواره‌ی منفذدار (میوزیپسینوئیدس، نئوروتالیا و



شکل ۳. ریزرساره‌های سازند آسماری در برش تنگ چوگان.

A: Bioclastic Planktonic Foraminifera Wackestone – Packstone (O1), sample number T58.

B: Bioclastic Nummulitidae Lepidocylinidae Planktonic Foraminifera Wackestone (B1), sample number D124.
C: Planktonic Foraminifera Nummulitidae Lepidocylinidae Corallinacean Wackestone – Packstone (B2), sample number D162.

D: Nummulitidae Lepidocylinidae Floatstone - Rudstone (B3), sample number D144.

E: Bioclastic Neorotalia Corallinacean Nummulitidae Grainstone (B4), sample number D122.

F: Bioclastic Corallinacean Wackestone (B5), sample number T98.

ضعیف تا متوسط بوده و گرد شدگی متوسط دارند. زمینه‌ی سنگ میکریتی است و به سمت بالاتر از میزان گل کاسته شده به میزان سیمان اضافه می‌شود و بافت سنگ بیشتر حالت پکستونی به خود می‌گیرد. این ریزرساره در دو برش مورد مطالعه در تاقدیس دشتک دیده می‌شود (شکل ۴-C).

تفسیر محیط رسوبی: این ریزرساره در محیط لاغون نیمه محصور (به علت حضور همزمان فرامینیفرهایی با دیواره هیالین و پورسلانوز) تشکیل شده است. فاسیس مشابهی توسط [۲۳] از بخش داخلی رمپ رسوبات میوسن از اسپانیا گزارش شده است. این ریزرساره معادل RMF-20 معرفی شده توسط [۲۳] می‌باشد.

L2: Bioclast Grainstone

فراوانی خرده صدف‌هایی از قبیل بریوزوئرها و خارپوستان ویژگی مهم این ریزرساره است. این بیوکلاستها پوشش میکریتی دارند. سایر اجزاء زیستی شامل فرامینیفرهای کفرزی مانند اپرکولینا و لپیدوسیکلینا هستند. این ریزرساره در برش یال شمالی تاقدیس دشتک دیده می‌شود اما در برش یال جنوبی موجود نمی‌باشد (شکل ۴-D).

تفسیر محیط رسوبی: جورشده‌ی و گردشده‌ی خوب، و فقدان زمینه‌ی دانه‌ریز، شرایط پرانرژی محیط تشکیل این ریزرساره را نشان می‌دهد. این ریزرساره معادل RMF-27 معرفی شده توسط [۲۳] می‌باشد. بر اساس شباهت این ریزرساره با ریزرساره‌ی استاندارد توصیف شده توسط [۲۲ و ۴۳] می‌توانیم آن را به سدهای بیوکلاستی که بالاتر از قاعده‌ی تأثیر امواج عادی در حاشیه‌ی پلاتформ تشکیل می‌شوند، نسبت دهیم.

L3: Imperforate Foraminifera Bioclast Wackestone – Packstone

ویژگی این ریزرساره وجود فراوان فرامینیفرهای کفرزی با دیواره‌ی بدون منفذ شامل میلیولید، آرکیاس، پنروپلیس، دندرتینا، بورلیس، آستروتریلینا و والولینید می‌باشد. فرامینیفرهای کفرزی با دیواره‌ی هیالین نیز به ندرت وجود دارند. بافت این ریزرساره وکستون و کستون و عمدتاً پکستون می‌باشد. دانه‌ها ضعیف تا متوسط جورشده هستند و از نظر اندازه ریز تا متوسط بوده و کمی گرد شده تا زاویه‌دار می‌باشند. این ریزرساره در دو برش مورد مطالعه دیده می‌شود (شکل ۴-E).

تفسیر محیط رسوبی: چنین ریزرساره‌ای توسط [۲] در سازند آسماری میدان کوپال شناسایی و معرفی گردید. این ریزرساره معادل RMF-9 معرفی شده توسط [۲۳] و ریزرساره‌ی شماره ۵ [۱۶] می‌باشد و به محیط رمپ میانی نسبت داده می‌شود.

B6: Coral Boundstone

رشد شبکه‌ای مرجان باعث به وجود آمدن این ریزرساره شده است. یک باندستون مرجانی است که آلومینه‌ای آن عمدهاً مرجان همراه با میلیولید و قطعات جلبکی می‌باشد. حجرات مرجان‌ها به طور بخشی توسط میکرایت یا سیمان کلسیتی پر شده‌اند. این ریزرساره در یال جنوبی تاقدیس دشتک موجود می‌باشد (شکل ۴-A).

تفسیر محیط رسوبی: گسترش ریفها به صورت کومه‌ای می‌باشد. معادل ریزرساره، کمریند ریزرساره‌ای ۶ [۱۶] و RMF-12 معرفی شده توسط [۲۳] می‌باشد و به محیط رمپ میانی نسبت داده می‌شود.

B7: Echinoids Corallinacean Wackestone – Packstone

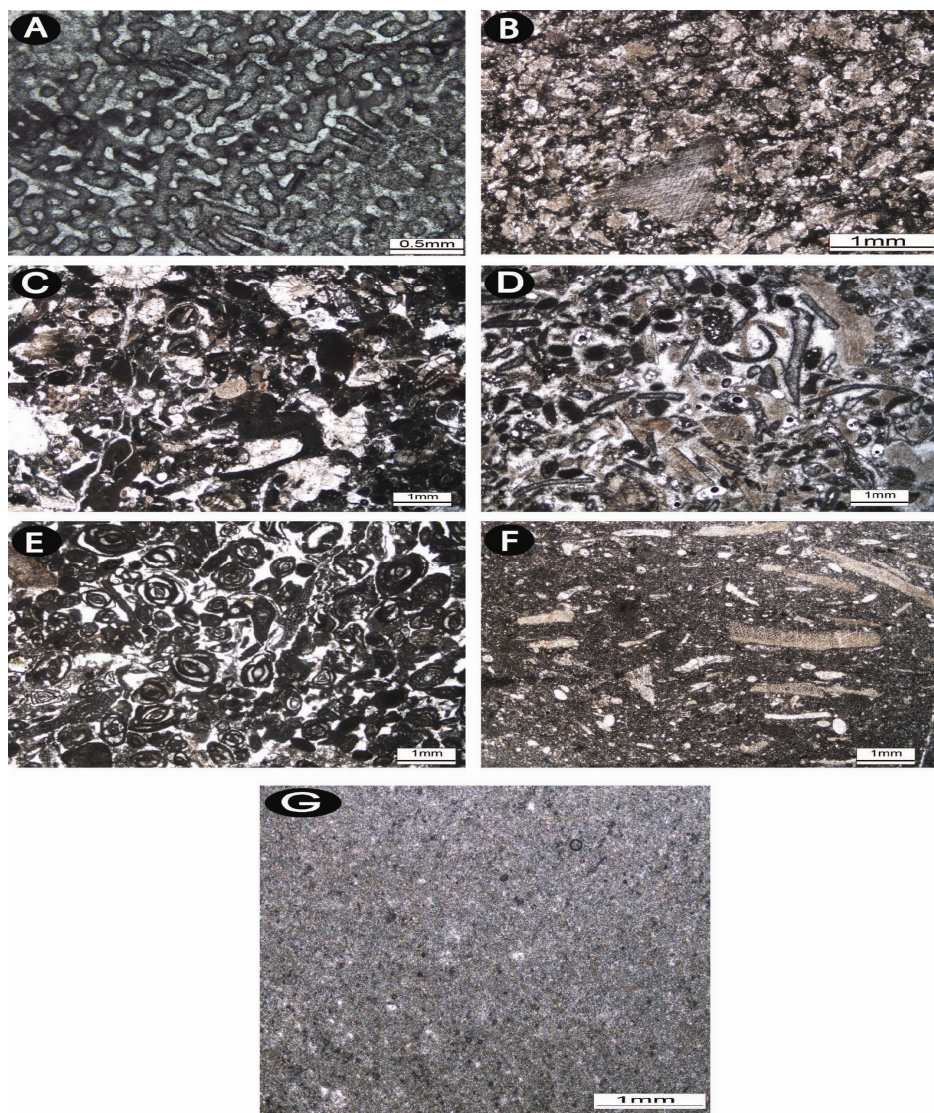
این ریزرساره یک ریزرساره‌ی وکستونی بیوکلاستدار می‌باشد که تا حدودی پکستونی نیز می‌شود. این ریزرساره از خرده‌های خارپوستان و قطعات کورالیناسه‌آ تشکیل شده است. دیگر قطعات اسکلتی مانند بریوزوئر، نرم‌تنان و تکستولاریا نیز به مقدار بسیار کم وجود دارند. جورشده‌ی این اجزاء ضعیف تا متوسط می‌باشد. این ریزرساره در دو برش مورد مطالعه موجود می‌باشد (شکل ۴-B).

تفسیر محیط رسوبی: این میکروفاسیس در محیط لاغون نیمه محصور (به علت حضور همزمان فرامینیفرهایی با دیواره‌ی هیالین و پورسلانوز) تشکیل شده است. این ریزرساره معادل RMF-27 معرفی شده توسط [۲۲] می‌باشد.

ریزرساره‌های رمپ داخلی (Inner ramp)

L1: Benthic Foraminifera Corallinacean Wackestone – Packstone

کورالیناسه‌آ و فرامینیفرهای بدون منفذ مانند آرکیاس، پنروپلیس، آستروتریلینا و میلیولید از عناصر اصلی این ریزرساره‌اند. خرده‌های خارپوستان و دیگر بیوکلاستها نیز حضور دارند. فرامینیفرهای منفذ دار از قبیل نومولیتیده و آمفیستزینا کم هستند. جورشده‌ی دانه‌ها



شکل ۴. ریزرخسارهای سازندآسماری در برش تنگ چوگان.

- A: Coral Boundstone (B6), sample number T114.
 B: Echinoids Corallinacean Wackestone- packstone (B7), sample number D224.
 C: Benthic Foraminifera Corallinacean Wackestone – Packstone (L1), sample number D206.
 D: Bioclast Grainstone (L2), sample number D216.
 E: Imperforate Foraminifera Bioclast Wackestone – Packstone (L3), sample number D268.
 F: Echinoids Small Rotaliids Wackestone (L4), sample number D276.
 G: Sandy Mudstone (L5), sample number T330.

اجزاء اصلی این ریز رخساره روتالیدها در اندازه‌های کوچک و خردکهای نسبتاً فراوان خارپوستان می‌باشد. دیسکوربیس، کورالیناسه، فرامینیفرهای کفزی بدون منفذ و تکستولارید از عناصر فرعی این ریز رخساره می‌باشند. زمینه‌ی سنگ میکریتی بوده و بافت گل‌بشتیان را تشکیل داده است. در بعضی نمونه‌ها ذرات کواتر تخریبی در اندازه‌ی ماسه‌ی بسیار ریز کمتر از ۱۰٪ دیده می‌شود.

تفسیر محیط رسوبی: ظهور تعداد زیادی از فرامینیفرهای بدون منفذ (آرکیاس، میلیولید، دندریتینا و آستروتربیلینا) در این ریز رخساره گویای محیط با اندکی شوری بالا بوده و شباهت آن با ریز رخساره‌های استاندارد توصیف شده توسط [۴۲] و RMF-16 [۲۳] نشان دهنده‌ی تنهایی در یک محیط لagon می‌باشد [۱۳ و ۴۲].

L4: Echinoids Small Rotaliids Wackestone

ساحل لاغون نسبت داده‌اند (شکل G-۴). همچنین این ریزرساره معادل RMF-19 معرفی شده توسط [۲۲] می‌باشد.

مدل رسوی

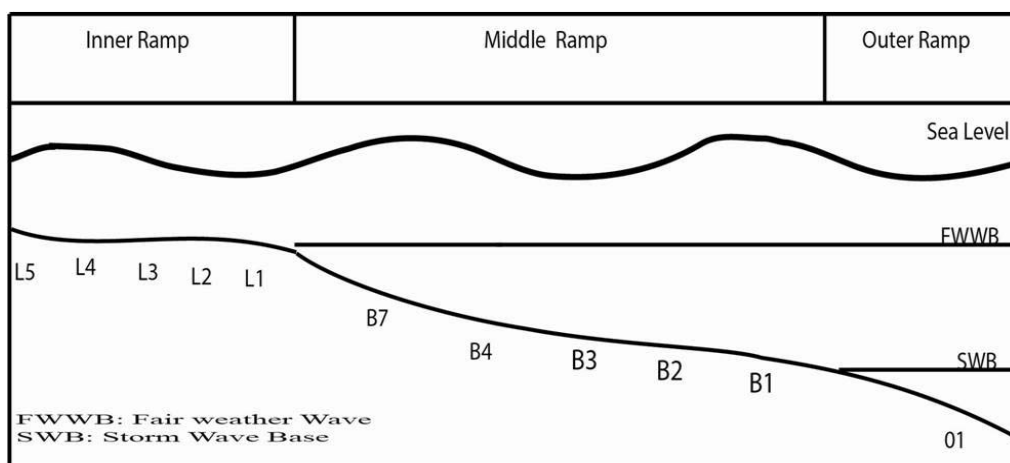
با توجه به تبدیل تدریجی ریزرساره‌ها به یکدیگر، عدم وجود سد ریفی، عدم حضور کورتوئیدها، آنکوئیدها، پیزوئیدها و دانه‌های آگرگات که خاص شلف کربناته می‌باشند و یا به ندرت در رمپ کربناته یافت می‌شوند [۲۲] و فقدان رسوبات دوباره جابجا شده، همچنین عدم وجود رساره‌های ریزشی و لغزشی که بیانگر شیب بالای محیط رسوی در هنگام رسوبگذاری می‌باشند، محیط رسوی سازند آسماری در دو برش مورد مطالعه از یک پلاتفرم کربناته از نوع رمپ با شیب یکنواخت (Ramp Homoclinal) بوده که شامل زیر محیط‌های رمپ داخلی، رمپ میانی و رمپ خارجی می‌باشد. گسترش ریزرساره‌ها در یک نیم‌رخ عرضی در یال شمالی (شکل ۵) نشان می‌دهد که از مجموع ۱۳ ریز رساره مشاهده شده ۳ ریز رساره Planktonic Foraminifera (BioclastGrainstone) Nummulitidae Lepidocylinidae Corallinacean Echinoids Small و Wackestone (Rotaliids Wackestone Coral Boundstone) همچنین دو ریز رساره (Bioclastic Corallinacean Wackestone) جنوبی مشاهده گردیده است (شکل ۶) که علت این تفاوت‌های جزئی، تغییرات ناحیه‌ای و محلی می‌باشد. مدل کلی این تاقدیس در یک نیم‌رخ عرضی از رمپ خارجی تا رمپ داخلی تغییر می‌کند (شکل ۷).

تفسیر محیط رسوی: بافت گلپشتیبان و فونای محدود به خردنهای خارپستان و روتابلیدهای بسیار کوچک، وجود فونای خاص محیط لاغون و موقعیت چینه‌شناسی نشان از تشکیل این ریز رساره در محیط محصور شده احتمالاً در قسمت‌های بسیار کم‌عمق لاغون می‌باشد. این رساره معادل RMF-7 معرفی شده توسط [۲۳] و کمریند رساره‌ای شماره ۲ [۱۶] بوده و معرف رمپ داخلی می‌باشد. رساره‌ی مشابه توسط [۳۲] مربوط به دریای باز و زیر قاعده‌ی تأثیر امواج عادی سازند آسماری از تنگ بی بی نرجس تاقدیس خویز در خوزستان گزارش شده است و همچنین رساره‌ی مشابه مربوط به رمپ داخلی (بخش کم‌عمق لاغون) از سازند آسماری در میدان نفتی گچساران نیز گزارش شده است [۱۹]. این ریزرساره در برش یال شمالي تاقدیس دشتک موجود می‌باشد ولی در برش یال جنوبی دیده نمی‌شود (شکل F-۴).

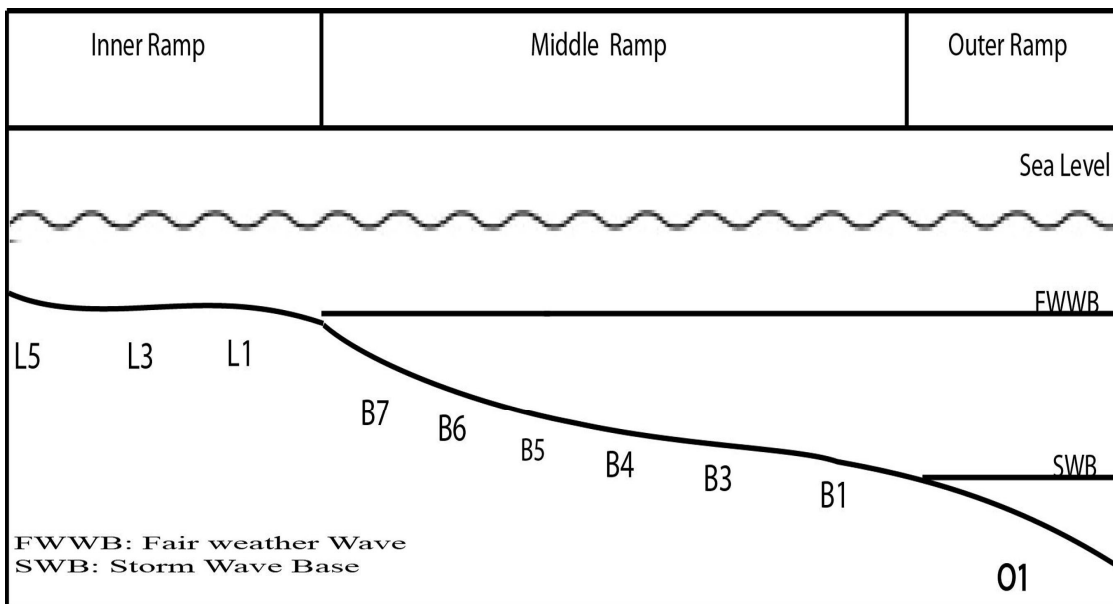
L5: Sandy Mudstone

میکریت زمینه‌ی اصلی این ریز رساره را تشکیل داده است. در این ریزرساره خردنهای اسکلتی وجود ندارند و فقط دانه‌های ریز کوارتز به صورت پراکنده در آن دیده می‌شود به دلیل داشتن گل آهکی فراوان و نیز عدم وجود اجزای اسکلتی و غیراسکلتی و داشتن کوارتز آواری، رسوب‌گذاری در بخش بالای پهنه‌ی جزرومدمی را تأیید می‌کند.

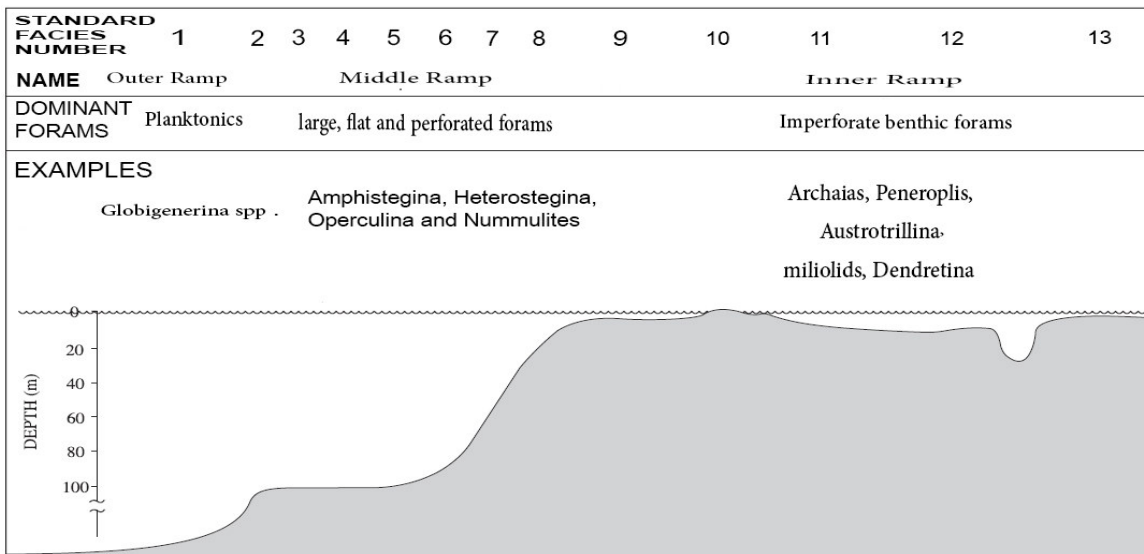
تفسیر محیط رسوی: نبود فسیل در این رساره نشان دهنده‌ی چرخش محدود آب و نبود شرایط مناسب برای زیست موجودات است [۷]. با توجه به بافت سنگ، حضور پراکنده‌ی دانه‌های کوارتز، عدم وجود فسیل، نبود شواهد خروج از آب و همچنین موقعیت آن در توالی، نهشته شدن این ریزرساره به قسمت کم‌عمق و به سمت



شکل ۵. مدل رسوی پیشنهادی برای تشکیل رسوبات سازند آسماری در یال شمالی تاقدیس دشتک.



شکل ۶. مدل رسوی پیشنهادی برای تشکیل رسویات سازند آسماری در یال جنوبی تاقدیس دشتک.



شکل ۷. مدل رسوی پیشنهادی برای تشکیل رسویات در سازند آسماری در دو برش مورد مطالعه.

ضخیم لایه می‌باشد. واحد ۳: که عمدتاً از آهک متوسط لایه تشکیل شده است.

زیست‌چینه‌نگاری: با توجه به مطالعه توزیع روزن‌داران ۳ زون زیستی در هر دو یال مشاهده شده است که بر اساس آن‌ها سن سازند آسماری در این تاقدیس، الیگوسن (روپلین-شاتین) در نظر گرفته می‌شود. این ۳ زون زیستی بدین شرح می‌باشند.

1. *Globigerina* spp. Assemblage Zone [۴۶]

نتیجه‌گیری

به طور کلی در نهشته‌های سازند آسماری در منطقه‌ی مورد مطالعه نتایج زیر حاصل گردید.

سنگ‌چینه‌نگاری: از نظر سنگ‌چینه‌نگاری، بر اساس مشاهدات صحرایی ۳ واحد سنگی در هر دو یال این تاقدیس شناسایی شده است که مشخصات عمدی این واحدها از قدیم به جدید بدین شرح می‌باشد: واحد ۱: عمدتاً شامل مارن و آهک مارنی می‌باشد. واحد ۲: عمدتاً شامل آهک متوسط تا

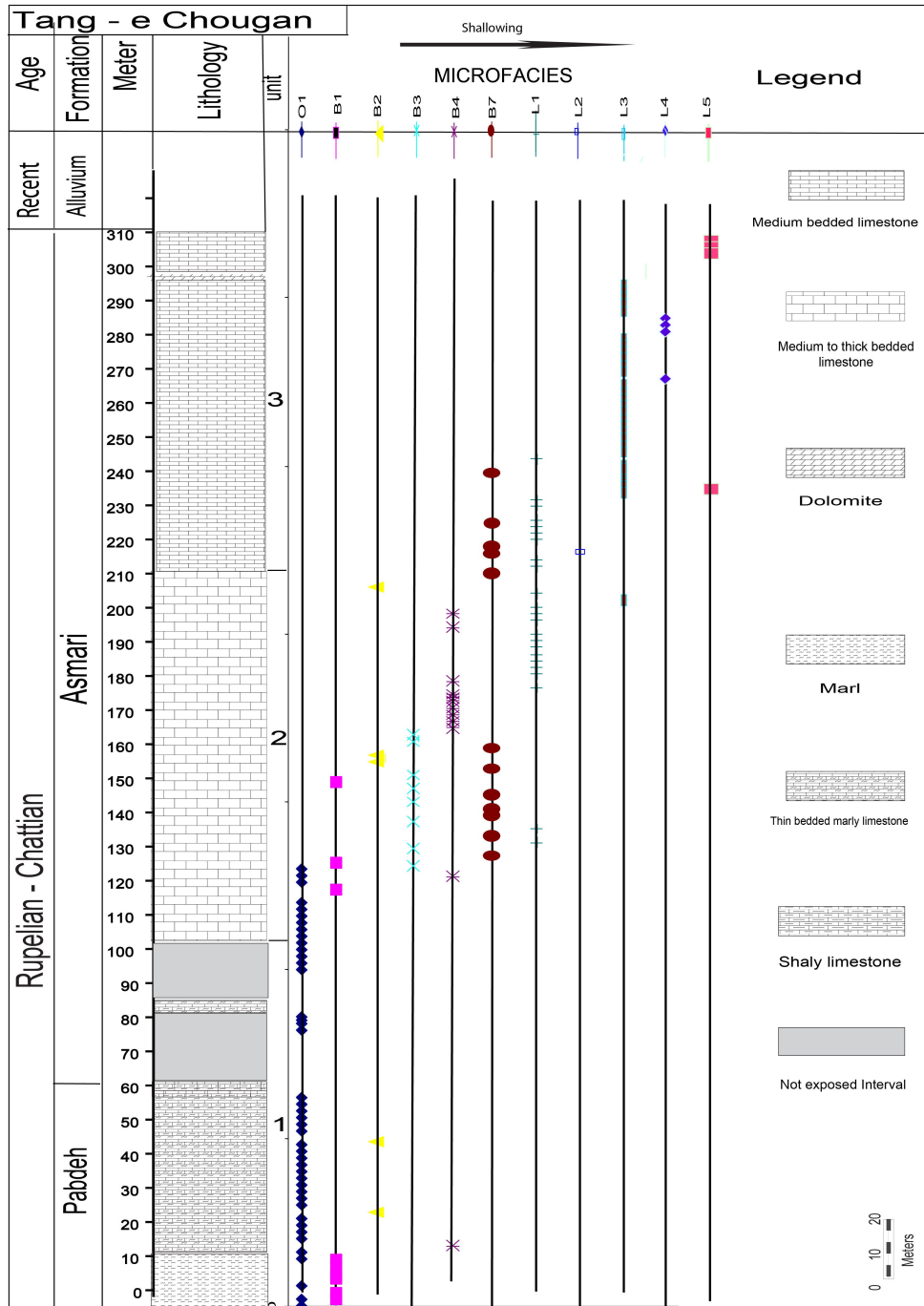
به محیط‌های رسوی (O1) رمپ خارجی، (B1-B7) رمپ میانی و (L1-L5) رمپ داخلی نسبت داده می‌شوند (شکل ۸ و ۹).

تشکر و قدردانی
از کلیه‌ی عزیزانی که در انجام این تحقیق همکاری داشته‌اند، تشکر و قدردانی می‌شود.

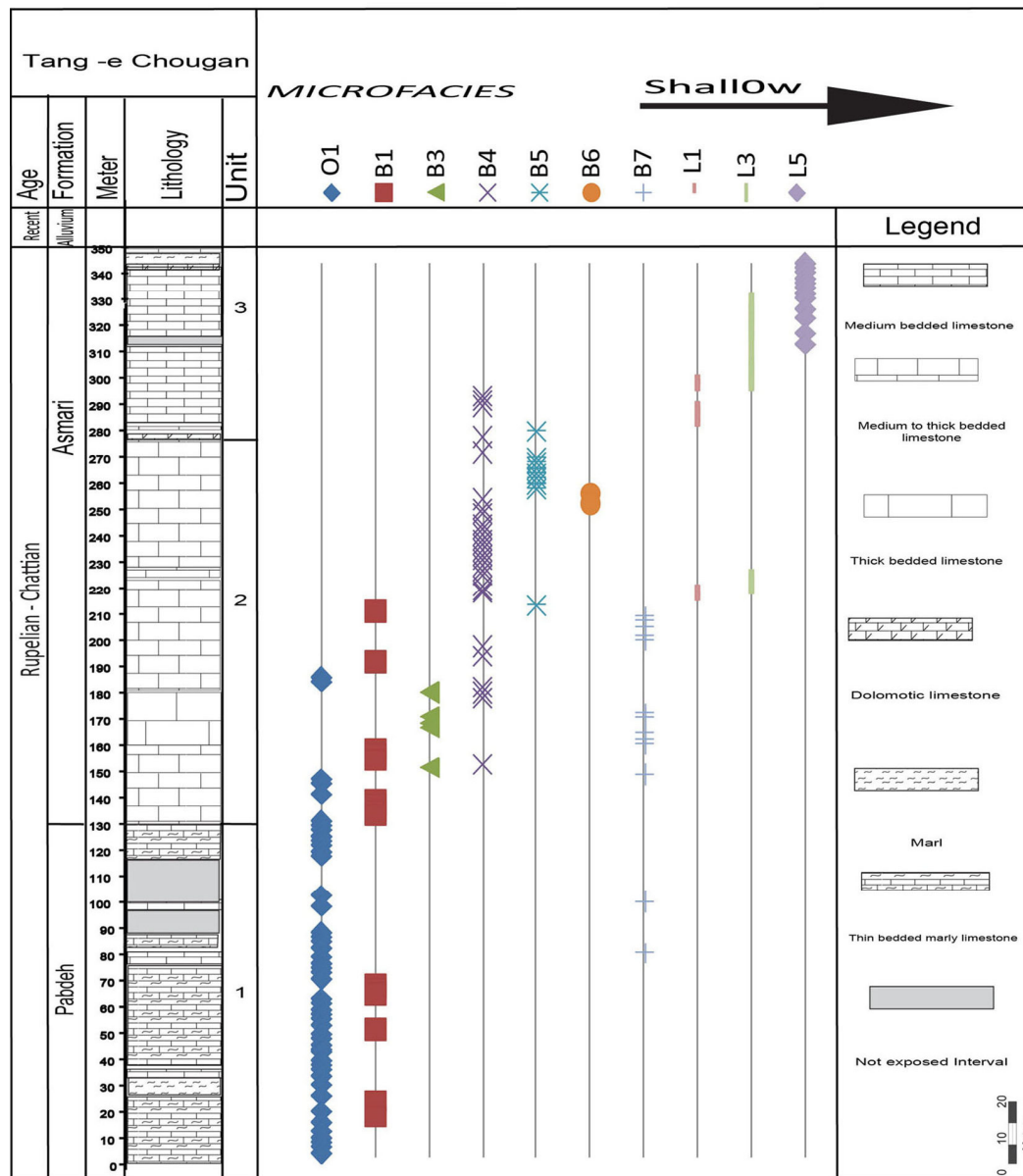
2. *Operculina, Lepidocyclina, Ditrupa* Assemblage Zone [۲۹]

3. *Miogypsinooides complanatus, Archaias asmaricus, Archaias hessoni* Assemblage Zone [۲۹]

ریز رخساره‌ها: با توجه به بررسی و مطالعه‌ی دقیق مقاطع نازک، در یال شمالی ۱۱ و یال جنوبی ۱۰ ریز رخساره‌شناسی گردید که از تلفیق آن‌ها در کل ۱۳ ریز رخساره حاصل شد که ریز رخساره‌های فوق بر اساس ویژگی‌هایشان



شکل ۸. ستون چینه‌شناسی و پراکندگی ریز رخساره‌های سازند آسماری در یال شمالی تاقدیس دشتک.



شکل ۹. ستون چینه‌شناسی و پراکنده‌گی ریزرساره‌های سازند آسماری در یال جنوبی تاقدیس دشتک.

مقالات چهارمین همایش انجمن زمین‌شناسی ایران، ص.

.۱۸۱-۱۷۹

[۴] ملکی خیمه‌سری، س (۱۳۷۸) تفسیر محیط رسوبی سازند آسماری در حاشیه‌ی شمالی فروافتادگی دزفول. پایان‌نامه‌ی کارشناسی ارشد، دانشگاه شهید بهشتی، دانشکده‌ی علوم زمین.

[۵] یزدانی، ا. و زیری مقدم، ح. صیرفیان، ع. و امیر بختیار، ح (۱۳۸۵) چینه‌نگاری زیستی و محیط رسوبی سازند آسماری در چاه شماره‌ی ۳۰ آغاجاری، خوزستان، مجله‌ی پژوهشی علوم پایه‌ی دانشگاه اصفهان، جلد ۲۵، شماره‌ی ۳: ۶۲-۳ (۴۹)

منابع

- [۱] آقانباتی، ع (۱۳۸۵) زمین‌شناسی ایران: سازمان زمین‌شناسی و اکتشافات معدنی، ص ۵۸۶.
- [۲] اورجانی، ش.، طاهری، م.، امیری بختیار، ح (۱۳۸۶) بیواستراتیگرافی و میکروفاسیس و محیط رسوبی سازند آسماری در چاه شماره ۴۴ میدان نفتی کوپال (جنوب غربی ایران)، یازدهمین همایش انجمن زمین‌شناسی.
- [۳] رئیسی، ع. لاسمی، ی (۱۳۷۹) بررسی میکروفاسیس‌ها، محیط رسوبی و سکانس‌های سازند آسماری (الیگومیوسن) در فروافتادگی دزفول جنوبی. خلاصه‌ی

- carbonate ramps: *J. Geol. Society, London*, 146: 746-748.
- [17] Corda , L. & Branda no, M (2003) Aphotic zone carbonate production on a Miocene ramp, Central Apennines, Italy. –*Sedimentary Geology*, 161: 55-70.
- [18] Cosovic V, Drobne K, Moro A (2004) Paleoenvironmental model from Eocene foraminiferal limestones of the Adriatic carbonate platform (Istrian Peninsula). *Facies* 50:61–75.
- [19] Daniel, J. M., Azizzadeh, M. et al (2008) Fracture reactivation and diagenesis in the Asmari Reservoirs (Dezful Embayment, southwest Iran) during the Zagros orogeny: Implications for fractured reservoir modelling workflows. *GEO 2008. Conference, Abstract, GeoArabia*, 13, 148.
- [20] Dunham, R.J (1962) Classification of carbonate rocks according to their depositional texture.-*Amer.Assoc. Petrol. Geol., Mem.*, no. 1, 108 –121.
- [21] Ehrenberg, S.N., Pickard, N.A.H., Laursen, G.V., Monibi, S., Mossadegh, Z.K., Svånå, T.A. Aqrabi, A.A.M., McArthur, J.M., Thirlwall, M.F (2007) Strontium isotope stratigraphy of the Asmari Formation (Oligocene–Lower Miocene), SW Iran. *Journal of Petroleum Geology* 30, 107–128.
- [22] Flügel, E (1982) Microfacies analysis of limestone. Berlin-Heidelberg, New York: Springer. p 633.
- [23] Flügel, E (2004) Microfacies of carbonate rocks, analysis interpretation and application, Springer-Verlag, Berlin.,Heidelberg, p.
- [24] Flügel, E (2009) Microfacies of carbonate rock, Springer Verlag, Berlin, 1007 pp.
- [25] Geel, T (2000) Recognition of stratigraphic sequences in carbonate platform and slope deposits, Empirical model based on microfacies analysis of Paleogene deposits in southeastern Spain. *Palaeogeography, Palaeoclimatol. And Palaeoecol.*155: 211-238. Iran and its proforeland evolution, *Am. J. Sci.*, 304:1-20.
- [26] James, G.A., and Wynd, J.G (1965) Stratigraphic nomenclature of Iranian oil consortium agreement area, Am. Assoc. of Petroleum Geologists Bulletin, 49(12): 2182-2245.
- [27] Kalanat, B., Taheri, A (2011) Sequence stratigraphy and depositional environment of the Oligocene deposits at Firozabad section, southwest of Iran based on microfacies analysis: *Geopersia* 1 (1), p.71-82.
- [28] Lassemi, Y (1980) Carbonate microfacies and depositional environment of the Kinkaid Formation (Upper Mississippian) of the Illinois Basin.Ph.D. Thesis, University of Illinois, U.S.A, 139 p.
- [6] Adams, C. G., and Bourgeois, E (1967) Asmari Biostratigraphy. - *Geol. and Exploration Div., IOOC Report*, no. 1.24 , (Unpubl.).
- [7] Allahkarampour Dill, M., Seyrafian, A. and Vaziri-Moghadam, H (2010) The Asmari Formation, north of the Gachsaran (Dill Anticline), southwest Iran: Facies analysis, depositional environments and sequence stratigraphy.– *Carbonates and Evaporites*, 25: 145-160.
- [8] Allahkarampour-Dill, M., Seyrafian, A., and Vaziri-Moghadam, H (2012) Palaeoecology of the Oligocene-Miocene Asmari Formation in the Dill Anticline (Zagros Basin, Iran):*Neues Jahrbuch für Geologie und Paläontologie - Abhandlungen Band 263 Heft 2*, p. 167 - 184
- [9] Amirshahkarami, M., Vaziri Moghaddam, H., & Taheri, A (2010) Biostratigraphy characterization of the Rupelian-Burdigalian carbonate succession at the Chaman-Bolbol area in the Zagros Basin: *Journal of Stratigraphy and Sedimentology*, University of Isfahan.vol.40,no.3, pp.63-84.
- [10] Amirshahkarami, M., Vaziri-Moghaddam, H., Taheri, A (2007) Sedimentary facies and sequence stratigraphy of the Asmari Formation at Chaman-Bolbol, Zagros Basin, Iran. *Journal of Asian Earth Sciences* 29, 947–959.
- [11] Barattolo F, Bassi D, Romano R (2007) Upper Eocene larger foraminiferal-coralline algal facies from the Knokova Mountain (southern continental Greece). *Facies* 53:361–375.
- [12] Beavington-Penney, S. J. and Racey, A (2004)“Ecology of extant nummulitids and other larger benthic foraminifera: applications in palaeoenvironmental analysis”, *Earth. Sci. Rev.*, Vol. 67 (3-4): 219–265.
- [13] Branda no, M., Frezza, V., Tomas etti, L. & Cuffaro, M (2009a) Heterozoan carbonates in oligotrophic tropical waters: the Attard Member of the Lower Coralline Limestone Formation (Upper Oligocene, Malta). – *Palaeogeography, Palaeoclimatology, Palaeoecology*, 274: 54-63.
- [14] Branda no, M., Frezza, V., Tomas etti, L. and Pedley, M (2009b) Facies analysis and paleoenvironmental interpretation of the Late Oligocene Attard Member (Lower Coralline Limestone Formation), Malta. – *Sedimentology*, 56:1138-1158.
- [15] Busk, H. G., and Mayo, H. T (1919) Some notes on the geology of the Persian oil fields. - *J. Inst. Petrol. Tech.*, no. 5 .5 – 26 .
- [16] Buxton, MWN., and Pedley, HM (1989) A standardized model for Tethyan Tertiary

- Paläontologie, Abhandlungen, Vol. 2 (3): 164-167.
- [39] Soltanian, N., Seyrafian, A. and Vaziri-Moghaddam, H (2011) Biostratigraphy and paleo-ecological implications in microfacies of the Asmari Formation (Oligocene), Naura Anticline (Interior Fars of the Zagros Basin), Iran. – Carbonates and Evaporites, 26: 167-180.
- [40] van Buchem, F.S.P., Allan, T.L., Laursen, G.V., Lotfpour, M., Moallemi, A., Monibi, S., Motiei, H., Pickard, N.A.P., Tahmasbi, A.R., Vedrenne, V., Vincent, B (2010) Regional stratigraphic architecture and reservoir types of the Oligo-Miocene deposits in the Dezful Embayment (Asmari and Pabdeh formations) SW Iran. Geological Society, London, Special Publications 329, 219-263.
- [41] Vaziri Moghaddam, H., Kimiagari, M., Taheri, A (2006) Depositional environment and sequence stratigraphy of the Oligo-Miocene Asmari Formation in SW Iran. Springer Verlag 52: 41-51.
- [42] Vaziri-Moghaddam, H., Seyrafian, A., Taheri, A. & Motiei, H (2010) Oligocene-Miocene ramp system (Asmari Formation) in the NW of the Zagros basin, Iran: Microfacies, paleoenvironment and depositional sequence.– Revista Mexicana de Ciencias Geológicas, 27: 56-71.
- [43] Wilson, J. L (1975) Carbonate facies in geologic history, Springer-Verlag, Berlin, Heidelberg, New York, 471p.
- [44] Wright, C.A., and Murray, J.W (1972) Comparisons of modern and Palaeogene foraminiferid distributions and their environmental implications. Mémoires du Bureau de Recherches Géologiques et Minières, 78: 87- 96.
- [45] www.google.com
- [46] Wynd, J. G (1965) Biofacies of the Iranian oil consortium agreement area: IOOC Report, no. 1082, 40 Plates, 80 p, unpublished.
- [29] Laursen, G.V., Monibi, S., Allan, T.L., Pickard, N.A.H., Hosseiney, A., Vincent, B., Hamon, Y., van Buchem, F.S.P., Moallemi, A., Druilllon, G (2009) Paper presented at: Shiraz 2009. First International Petroleum Conference and Exhibition: Shiraz, Iran. The Asmari Formation Revisited: Changed Stratigraphic Allocation and New Biozonation.
- [30] Lees, G. M (1933) The reservoir rocks of Persian oil fields. - Am. Assoc. Petrol. Geol. Bull., v. 17 , no. 3, 229 – 240.
- [31] Parvaneh Nejad Shirazi, M., Davoudi Nezhad, M., & Ghalavand, H (2012) Microfacies and sedimentary environment of the Oligo-Miocene sequence (Asmari Formation) in Khuzestan sub- basin, Zagros Basin, southwest Iran, International Research Journal of Geology and Mining , vol. 2(1) pp. 016-024.
- [32] Rahmani, A., H. Vaziri-Moghaddam, A. Taheri, and A. Ghabeishavi (2009) A model for the palaeoenvironmental distribution of larger foraminifera based on microfacies analysis of Oligocene-Miocene carbonate rocks at Khaviz Anticline, Zagros Basin, SW Iran: Historical Biology, v. 21, p. 215-227.
- [33] Rahmani, A., Taheri, A., Vaziri-Moghaddam, H., & Ghobeishavi, A (2012) Biostratigraphy of the Asmari formation at Khaviz and Bangestan anticlines, Zagros basin, SW Iran. – N. Jb.Geol. Palaont.Abh.,263/, 1-16.
- [34] Richardson, R. K (1924) The geology and oil measures of south west Persia, J. Inst. Petrol. Tech., Vol. 10 (43): 256- 283.
- [35] Romero, J., E., Caus and J., Rossel (2002) A model for the palaeoenvironmental distribution of larger foraminifera based on Late Middle Eocene deposits on the margin of the south Pyrenean basin: Palaeogeography, Palaeoclimatology, Palaeoecology, no.179, p. 43-56.
- [36] Sadeghi, R., Vaziri-Moghaddam, H., and Taheri, A (2010) Microfacies and sedimentary environment of the Oligocene sequence (Asmari Formation) in Fars sub-basin, Zagros Mountains, southwest Iran: Facies, v. 57(3), p.431- 446.
- [37] Seyrafian, A (2000) Microfacies and depositional environments of Asmari Formation at Dehdez area (a correlation across Central Zagros basin, Carbonate and Evaporates),15: 22-48.
- [38] Seyrafian, A., and Hamedani, A (2003) Microfacies and palaeoenvironmental interpretation of the lower Asmari Formation (Oligocene), North-central Zagros basin, Iran, Neues Jahrbuch für Geologie und